

برآورد عملکرد برج نج در بخشی از شبکه سفیدرود گیلان با استفاده از تصاویر ماهواره لندست

(مطالعه موردي: صومعه سرا)

مجتبی رضایی^{۱*} ، محمود رائینی سرجاز^۲ ، علی شاهنظری^۳ ، مجید وظیفه‌دوست^۴

تاریخ پذیرش: ۱۳۹۳/۶/۲۶ تاریخ دریافت: ۱۳۹۲/۹/۲۷

چکیده

برآورد زود هنگام عملکرد برج نج نقش مهمی در مدیریت مواد غذایی کشور دارد. پژوهش حاضر برای بررسی امکان برآورد عملکرد برج در شهرستان صومعه‌سراي استان گیلان با استفاده از چهار تصویر ماهواره لندست پنج و هفت انجام شده است. شاخص‌های LAI و SAVI از تصاویر استخراج و رابطه آن‌ها با صفات عملکرد، زیست‌توده و کاه اندازه‌گیری شده از ۸۰ مزرعه کشاورزان محلی به دست آمد. نتایج نشان داد بالاترین ضریب تبیین برای برآورد زیست‌توده با شاخص NDVI مربوط به تصویر ماهواره لندست پنج در دوره گلدهی ($R^2 = 0.59$) با خطای اندازه‌گیری ۱۲ درصد، معادل ۱۰۳۰ کیلوگرم در هکتار می‌باشد. خطای اندازه‌گیری برای عملکرد شلتوك و کاه تولیدی به ترتیب ۱۲ و ۱۵ درصد معادل ۴۳۴ و ۷۱۱ کیلوگرم در هکتار بود. بالاترین ضریب تبیین رابطه میان LAI و مقدار زیست‌توده، عملکرد و کاه تولیدی مربوط به همین تصویر به ترتیب معادل ۰.۰۵۱، ۰.۰۶۰ و ۰.۰۵۴ می‌باشد. خطای برآورد ۳۸۰، ۹۱۹ و ۷۰۶ کیلوگرم در هکتار بود. شاخص SAVI در مقایسه با NDVI و LAI مقادار ضرایب تبیین برای زیست‌توده، عملکرد و کاه به ترتیب برابر 0.58 ، 0.58 و 0.63 درصد معادل ۳۷۵، ۸۷۰ و ۶۸۰ کیلوگرم در هکتار بوده است. که منجر به نتایج دقیق تری برای برآورد مقدار زیست‌توده عملکرد و کاه تولیدی برج در سطح وسیع شده است. نتایج نشان داد فناوری سنجش از دور توانایی برآورد عملکرد برج را یک ماه قبل از برداشت برج با دقت مناسبی دارد.

واژه‌های کلیدی: سنجش از دور، شالیزار، شاخص گیاهی بهنجارشده، Etm+

مقدمه

رسید. به همین دلیل این داده‌ها بیشتر از این که به عنوان ابزار مدیریت در سال جاری استفاده گردد به عنوان آمار کشت در سال یا سال‌های گذشته ارائه می‌گردد. ضرورت آگاهی از مقدار تولید در سطح ملی و پیشرفت‌های اخیر سنجش از دور^۵ نگاه‌ها را به سمت این فناوری برای حل مشکل معطوف کرده است. فناوری سنجش از دور علم و هنر به دست آوردن اطلاعات درباره یک شی، منطقه، یا پدیده از طریق تجزیه و تحلیل داده‌های حاصله به وسیله ابزاری است که در تماس فیزیکی با شی، منطقه و یا پدیده تحت بررسی نباشد (مالمیران، ۱۳۷۹). سنجش از دور توانایی استخراج و ارائه اطلاعات متنوعی از جمله سطح کشت، مقدار شاخص سطح برگ^۶ و زیست‌توده را دارد. پیش‌بینی عملکرد با استفاده از فناوری سنجش از دور با چندین روش امکان پذیر است. یکی از این روش‌ها استفاده از رابطه تجربی و رگرسیون بین پارامترهای گیاهی با عملکرد محصول می‌باشد. شاخص‌های انتخاب شده برای این روش شاخص‌هایی است که مستقیماً به عملکرد وابسته هستند مانند شاخص سطح Dadhwal, and) SAVI^۷ و^۸ شاخص گیاهی بهنجارشده^۹ و^{۱۰} SAVI^۱

رشد اقتصادی و صنعتی باعث افزایش سطح زندگی و انتظار برای دریافت غذای بیشتر و با کیفیت بهتر شده است. در این شرایط اندازه‌گیری هرچه دقیق‌تر و سریع‌تر عملکرد برج و تولید داخلی نقش مهمی در مدیریت و برآورد زودهنگام مقدار کمبود و یا مازاد تولید ملی و برنامه‌ریزی برای واردات و یا در صورت لزوم صادرات آن دارد (Lu et al,2002). روش مرسوم اندازه‌گیری مقدار عملکرد در ایران، تجربی است که علاوه بر نیاز به اندازه‌گیری‌های زیاد صحرایی برای جمع‌آوری داده‌ها، پرهزینه، سخت و گاهی غیرممکن است. در نهایت داده‌های نهایی بسیار دیرتر از زمان مورد نیاز به دست مدیران خواهد

- ۱- دانشجوی دکتری آبیاری و زهکشی، گروه مهندسی آب، دانشگاه علوم کشاورزی و منابع طبیعی ساری
 - ۲- دانشیار آبیاری و زهکشی، گروه مهندسی آب، دانشگاه علوم کشاورزی و منابع طبیعی ساری
 - ۳- استادیار آبیاری و زهکشی، گروه مهندسی آب، دانشگاه علوم کشاورزی و منابع طبیعی ساری
 - ۴- استادیار گروه مهندسی آب دانشگاه گیلان
- (Email: mrezaeii@yahoo.com) (*)- نویسنده مسئول:

زود هنگام عملکرد مزارع برنج شهرستان صومعه سرای استان گیلان با استفاده از تصاویر ماهواره لندست ۵ و ۷ انجام شده است.

مواد و روش‌ها

این پژوهش در شهرستان صومعه سرای استان گیلان در طول چهارمایی ۱۵° تا ۴۹° شرقی و عرض چهارمایی ۱۵° تا ۳۷° شمالی انجام شد (شکل ۱). این شهرستان شامل حدود ۲۶ هزار هکتار از اراضی شالیزاری می‌باشد که عموماً تحت کشت قسم محلی هاشمی بوده و از کanal آب بر فومن آبیاری می‌گردد. این اراضی در طول دوره ۹۰ روزه رشد از ابتدای کاشت (عموماً نیمه دوم اردیبهشت) تا انتهای دوره رشد (نیمه دوم مرداد) به صورت غرقاب می‌باشند. از داده‌های مزروعه‌ای که طی دو سال ۱۳۸۵ (۱۱۰ مزرعه) و ۱۳۸۶ (۸۰ مزرعه) از مزارع شالی‌کاران محلی برداشت شده بود استفاده گردید. از داده‌های سال اول برای استخراج معادلات و از داده‌های سال زراعی دوم برای ارزیابی بهترین معادله استخراج شده استفاده گردید. عملکرد شلتوك، کاه و زیست توده (مجموع کاه و شلتوك)، در این مزارع نمونه‌برداری و برای اندازه‌گیری به آزمایشگاه منتقل و محل اندازه‌گیری با دستگاه موقعیت‌یاب ثبت شده است. پراکنش نقاط برداشت شده در شکل شماره ۱ نشان داده شده است.

تصاویر ماهواره‌ای

در این پژوهش برای سال ۱۳۸۵ از چهار تصویر و در سال ۱۳۸۶ از یک تصویر ماهواره لندست پنج و هفت شامل سنجنده‌های ETM⁺ و TM در تاریخ‌های مختلف که به مهم‌ترین مراحل زراعی برنج شامل مراحل گلدهی و رسیدگی مربوط می‌گردد استفاده شد (جدول ۱). ماهواره لندست با دقت مکانی ۳۰ متر در باندهای مرئی و مادون قرمز و دقت زمانی ۱۶ روزه یکی از پرکاربردترین ماهواره‌های محیطی می‌باشد. تصحیح رادیومتری و تصحیح هندسی بر اساس نقاط مشخص مانند ایستگاه‌های هواشناسی و فروندگاه و نقاط کنترل زمینی انجام و مقادیر انعکاس^۲ در باندهای سه و چهار (به ترتیب قرمز معادل ۶۵۰ نانومتر و مادون قرمز نزدیک معادل ۸۶۰ نانومتر) برای تصاویر مذکور در محیط نرم‌افزار ERDSA9.1 بدست آمد (Lu et al,2002) و در نهایت ساختهای SAVI، NDVI و LAI با معادلات ۱، ۲ و ۳ و بر اساس ضرایب پیشنهادی برای منطقه محاسبه گردید (مختاری، ۱۳۹۰). سپس بین مقدار زیست-توده، عملکرد شلتوك برنج و مقدار کاه تولیدی در مزرعه و شاخص‌های به دست آمده از تصاویر رگرسیون ساده خطی برقرار گردید.

Sharma et al,1998, Grotens,1993, Ray 2000 (Sharma et al, 2000), al,1993

در برخی از مطالعات نیز برآورد عملکرد گیاه از طریق محاسبه مقدار ماده خشک روی سطح زمین با ترکیب داده‌های ماهواره‌ای و مدل‌های تشعشع انجام شده است (Leon et al,2003). این مدل برای پیش‌بینی عملکرد گندم، برنج و نیشکر مناسب بوده، ولی برای پنبه برآورد خوبی نداشت (Bastiaanssen and Ali,2003). مطالعات برای برآورد عملکرد با استفاده از فناوری سنجش از دور محدود به این روش‌ها نشده و پاره‌ای از مطالعات به استفاده از روش-های پیچیده‌تر مانند جعبه سیاه و استفاده از عوامل ورودی فرآوان در برآورد عملکرد روی آوردن (Yang et al,2009). اما هرچه الگوریتم-های پیشنهادی پیچیده‌تر و با عوامل ورودی زیادتری طراحی شده باشند کاربرد آن‌ها مشکل‌تر و تعمیم آن به دیگر مناطق دیگر با مشکلات اجرایی بیشتری همراه است (Monteith,1972). در مجموع به نظر می‌رسد استفاده از روش‌های ساده‌تر و معادلات معمولی دارای قابلیت کاربرد باشد. البته سادگی این روش به معنی دقیق کم آن نمی‌باشد و به کارگیری تصاویر ماهواره‌ای حتی با دقیق مکانی کم، بر روش اندازه‌گیری زمینی عملکرد، برتری دارد. در مجموع بررسی منابع و پژوهش‌های محققان در این زمینه مشخص می‌نماید که چشم انداز این روش‌ها در آینده بسیار خوب و روشن است (Bastiaanssen and Ali,2003).

تحقیقات انجام یافته در خارج از کشور ارتباط بسیار بالا بین NDVI و شاخص سطح برگ با مقدار عملکرد گیاهان متعدد مانند گندم (Ren et al,2008)، جو، کلزا (Behrens et al,2006) و بذر (El Nahry et al,2009) و برنج (Shen et al,2011) (and Mo,2011) را نشان دادند. به همین دلیل این شاخص کاربرد فراوانی در تعیین خصوصیات گیاهی مانند مقدار زیست-توده دارد. اما امکان برآورد عملکرد برنج با استفاده از این فناوری در داخل کشور به ندرت مورد بررسی قرار گرفته است. با وجود این که چند مطالعه برای تعیین سطح کشت برنج با استفاده از تصاویر ماهواره‌ای انجام گرفته است (خواجه‌الدین و پورمنافی، ۱۳۸۶؛ ساروئی و نصیری، ۱۳۸۱؛ ضیائیان فیروز آبادی و همکاران، ۱۳۸۸). ولی گزارش مکتوبی از برآورد عملکرد شالیزارهای گیلان با استفاده از این فناوری در داخل کشور یافت نشد. بنابراین لزوم انجام یک پژوهش برای بررسی امکان کاربرد فناوری سنجش از دور در این زمینه در داخل کشور احساس می‌شد. پژوهش حاضر با هدف برآورد و یا در صورت امکان پیش‌بینی

شاخص‌های آماری

کل نقاط مزرعه‌ای برداشت شده در سال ۱۳۸۵ به صورت تصادفی به دو بخش تقسیم شد. از بخش اول شامل ۸۰ نقطه برای استخراج معادله رگرسیونی در هر صفت عملکرد، زیست توده و مقدار کاه تولیدی و از قسمت دوم شامل ۳۰ نقطه برای اعتبارسنجی معادلات استخراج شده استفاده گردیده است. دقت تصاویر و فناوری سنجش از دور در پیش‌بینی و برآورد با استفاده از دو شاخص ریشه میانگین مربعات خطأ (RMSE)، ریشه میانگین مربعات خطای نرمال شده (NRMSE) و نیز ضریب تبیین مقادیر ارزیابی شد. از داده‌های ۸۰ مزرعه برداشت شده در سال ۱۳۸۶ نیز برای ارزیابی مجدد بهترین معادله استخراج شده از داده‌های سال اول استفاده گردید.

$$RMSE = \sqrt{\frac{1}{n} \sum_{i=1}^n (s_i - o_i)^2} \quad (4)$$

$$NRMSE = 100 \times \frac{RMSE}{M_0} \quad (5)$$

در روابط فوق n تعداد مشاهدات، s_i مقدار شبیه‌سازی شده، o_i مقدار مشاهده شده و M_0 میانگین مقادیر مشاهده شده

$$NDVI = \frac{\rho_{nir} - \rho_{red}}{\rho_{nir} + \rho_{red}} \quad (1)$$

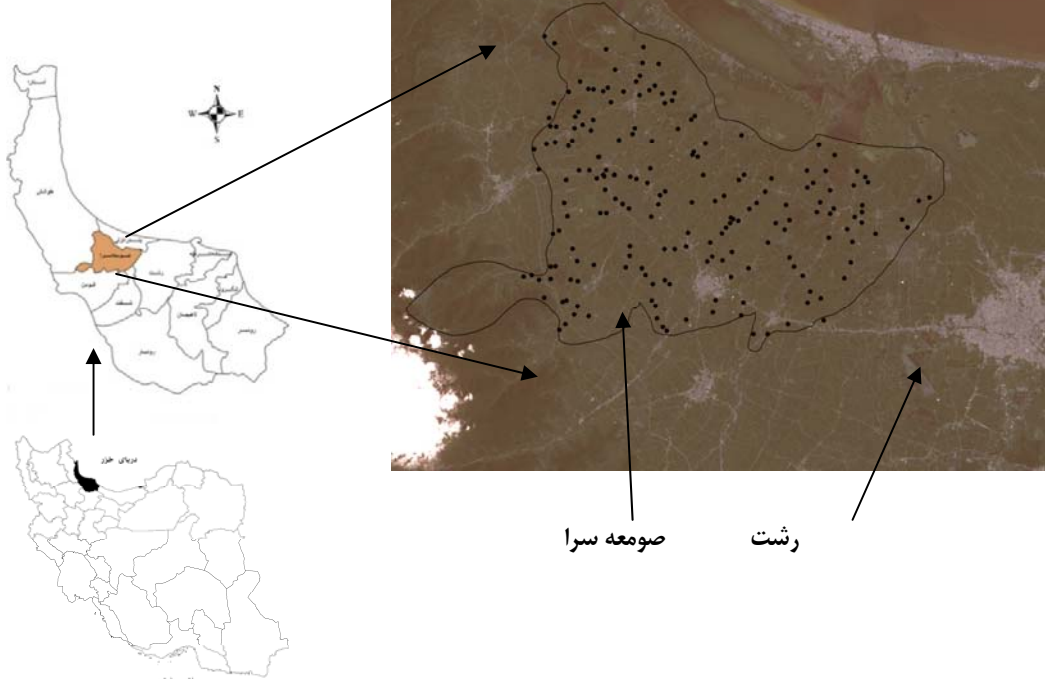
$$SAVI = (1 + L) \times \frac{\rho_{nir} - \rho_{red}}{L + \rho_{nir} + \rho_{red}} \quad (2)$$

$$LAI = -\ln\left(\frac{c_1 - SAVI}{c_2}\right) \times \frac{1}{c_3} \quad (3)$$

به ترتیب انعکاس در باند مادون قرمز و قرمز و ضرایب c_1, c_2, c_3 به ترتیب برابر $0.1/0.59$ ، $0.69/0.59$ و $0.91/0.59$ هستند.

جدول ۱- مشخصات تصاویر استفاده شده

نام ماهواره	نام تصویر	زمان برداشت تصویر	مرحله زراعی	فارسی
		میلادی	میلادی	
گلدهی	2006-07-09	85/۴/۱۸	L5-190	Landsat5
گلدهی	2006-07-17	85/۴/۲۶	L7-198	Landsat7
رسیدگی	2006-08-02	85/۵/۱۱	L7-214	Landsat7
رسیدگی و برداشت	2006-08-10	85/۵/۱۹	L5-222	Landsat5
گلدهی	2007-07-20	86/۴/۲۹	L7-2007	Landsat7



شکل ۱- موقعیت استان گیلان، شهرستان صومعه سرا و نقاط برداشت شده

نتایج و بحث

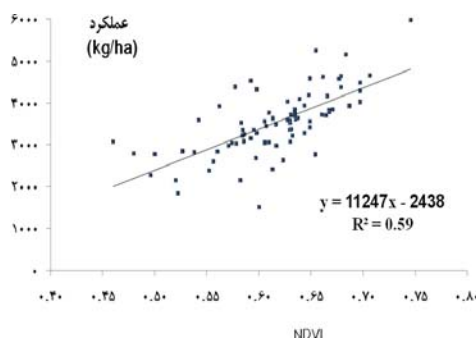
L5-222 و L5-190 در برآورد عملکرد شلتوك نیز دقت بالاتری داشتند. مقدار خطای اندازه‌گیری در هر دو این تصاویر بسیار کم معادل ۵۲۱ و ۴۳۴ کیلوگرم در هکتار است. تصویر L5-222 از ضریب تبیین بهتری در مقایسه با تصویر L5-190 برخوردار است. همچنین نتایج این جدول نشان داد معادله استخراج شده از تصویر L5-190 همانگی بهتری با مقدار کاه تولیدی داشته است (شکل ۳). که با مقدار خطای اندازه‌گیری ۷۱۱ کیلوگرم در هکتار بهترین معادله بود (شکل ۴). نتایج به دست آمده در این پژوهش Aboelghar et al., 2011 کامل با مطالعات ابوالقهیر و همکاران دارد () که در آن با ایجاد رابطه مستقیم بین شاخص‌های گیاهی استخراج شده از تصاویر ماهواره‌ای اسپات با دقت مکانی ۱۵ متر و عملکرد برنج در یک مزرعه کوچک تحقیقاتی آن را یک ماه قبل از برداشت پیش‌بینی کردند ($R^2=0.86$). دقت کمتر تحقیق حاضر در مقایسه با مطالعه اشاره شده را می‌توان به سطح بسیار وسیع‌تر مطالعه حاضر، تنوع تقویم زراعی، خاک اراضی و عملیات زراعی کشاورزان و همچنین تنوع در عوامل بسیار مؤثر کود نیتروژن مصرفی در اراضی شالیزاری منطقه موردن مطالعه نسبت داد (Behrens et al., 2006 ; Shen et al., 2009 ; et al., 1997 ; Fischer et al., 2011 et al., 1998). مسئله مهم دیگر دقت مکانی بالاتر تصاویر استفاده شده در مطالعه ابوالقهیر و همکاران می‌باشد که در کاهش خطای اندازه‌گیری تأثیر دارد.

خلاصه شاخص‌های آماری معادلات مربوط به رابطه بین صفات مقدار زیست‌توده، عملکرد و کاه تولیدی با NDVI استخراج شده از تصاویر در جدول ۲ ارائه شده است. بر اساس این جدول برای صفت زیست‌توده ضریب تبیین (R^2) معادلات به دست آمده بین ۰/۵۰ تا ۰/۵۹ متفاوت می‌باشد. در میان معادلات استخراج شده، بالاترین مقدار مربوط به دو تصویر ماهواره لندست پنج در دو دوره گلدهی و رسیدگی برنج است. ضریب تبیین (R^2) تصویر L5-222 مقارن با دوره برداشت برنج نیز برابر ۰/۵۸ و ریشه میانگین مربعات خطای نرمال شده (NRMSE) این تصویر برابر ۱۸ درصد و یا به عبارت دیگر ۱۴۴۸ کیلوگرم در هکتار خطای اندازه‌گیری در مقایسه با این تصویر تصویر L5-190 با ضریب تبیین بالاتر در مقایسه با این تصویر (۰/۵۹) مطابقت بهتری با مقدار زیست‌توده نشان داد. خطای اندازه-گیری در این تصویر بسیار کمتر و در حد ۱۲ درصد یا ۱۰۳۰ کیلوگرم در هکتار است (شکل ۲). از آنجایی که NDVI شاخص بازتابش دو باند قرمز و مادون قرمز نزدیک بوده و بیشترین مقدار جذب کلروفیل El Nahry : Delécolle et al., 1992 در این دو باند اتفاق می‌افتد () ارتباط این شاخص با رشد گیاهان، پوشش گیاهی و زیست‌توده قابل توجیه است (Casanova et al., 1998).

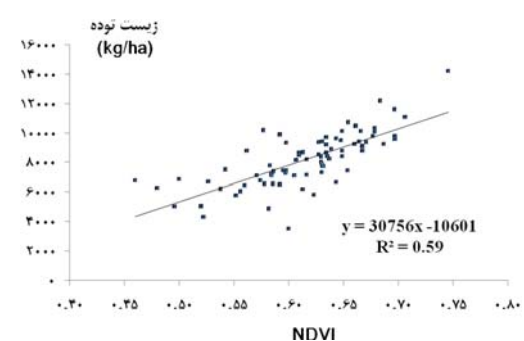
با نگاه دوباره به جدول ۲ می‌توان نتیجه‌گیری کرد دو تصویر

جدول ۲ - معادلات استخراج شده از تصاویر برای پیش‌بینی زیست‌توده، عملکرد و کاه از شاخص NDVI

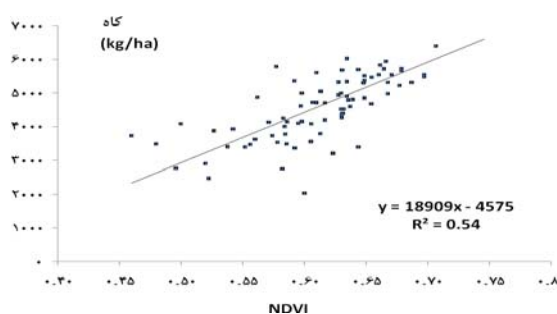
تصویر	صفت	معادله	واسنجی	ارزیابی
	(Kg ha ⁻¹)			NRMSE (%) RMSE (Kg ha ⁻¹)
L5-190	زیست‌توده	BM=30756×NDVI-10601	۰/۵۹	۱۲ ۱۰۳۰
L7-198	عملکرد شلتوك	BM=28681×NDVI-10050	۰/۵۰	۱۸ ۱۵۲۷
L7-214		BM=29682×NDVI-8785.4	۰/۵۵	۱۸ ۱۵۲۲
L5-222		BM=34055×NDVI-12183	۰/۵۸	۱۸ ۱۴۴۸
L5-190	عملکرد شلتوك	Yld=11247× NDVI -2438.5	۰/۵۹	۱۲ ۴۳۴
L7-198		Yld=10546× NDVI -3245.4	۰/۴۸	۱۸ ۶۵۵
L7-214		Yld=11163× NDVI -2917.6	۰/۴۹	۱۶ ۵۷۸
L5-222		Yld=14073× NDVI -4930.6	۰/۶۰	۱۵ ۵۲۱
L5-190	مقدار کاه	Straw=18909× NDVI -4575	۰/۵۴	۱۵ ۷۱۱
L7-198		Straw =18135× NDVI -6805	۰/۴۷	۲۱ ۱۰۴۱
L7-214		Straw=18520×NDVI -5867.8	۰/۵۳	۲۰ ۹۵۶
L5-222		Straw=19452×NDVI -6915.6	۰/۴۷	۲۵ ۱۱۳۱



شکل ۳- رابطه شاخص NDVI با مقدار عملکرد



شکل ۲- رابطه شاخص NDVI با مقدار زیست توده



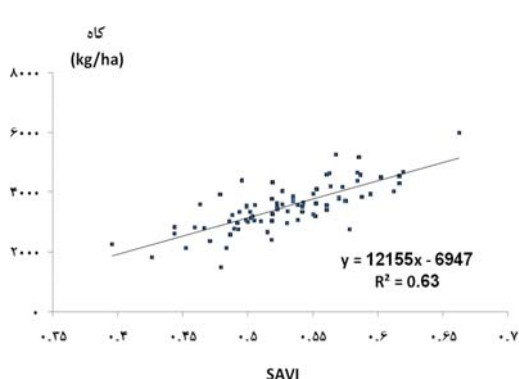
شکل ۴- رابطه شاخص NDVI با مقدار کاه

به طوری که برای صفت زیست توده تصویر L5-190 با ضریب تبیین برابر ۰/۶۹، بالاترین هماهنگی را دارد (شکل ۵).

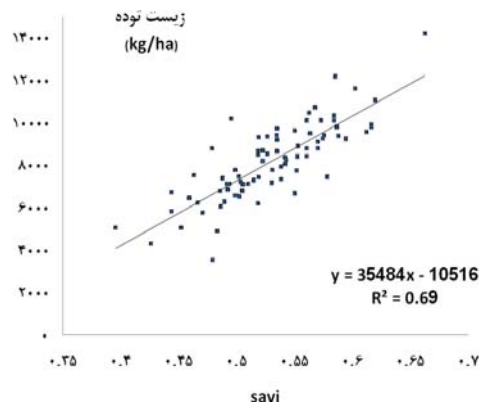
بررسی روابط رگرسیونی میان صفات اندازه گیری شده و شاخص SAVI (جدول ۳) نشان می دهد استفاده از این شاخص باعث بهبود ضریب تبیین معادلات استخراجی در مقایسه با NDVI شده است.

جدول ۳- معادلات استخراج شده از تصاویر برای پیش بینی زیست توده، عملکرد و کاه از شاخص SAVI

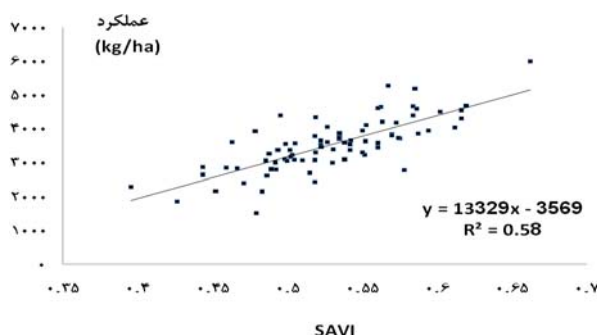
ارزیابی	واسنجی			تصویر	صفت (Kg.ha ⁻¹)
	NRMSE (%)	RMSE (Kg ha ⁻¹)	R ²	معادله	
۱۰	۸۷۰	۰/۶۹	BM=35484×SAVI -10516	L5-190	
۱۷	۱۴۶۶	۰/۵۵	BM=33147×SAVI-9800	L7-198	زیست توده
۱۶	۱۳۶۰	۰/۵۵	BM=29682×SAVI-8785	L7-214	
۱۰	۸۷۰	۰/۶۸	BM=35484×SAVI-10516	L5-222	
۱۰	۳۷۵	۰/۵۸	Yld=13329×SAVI -3569	L5-190	
۱۷	۵۹۶	۰/۴۴	Yld=12109×SAVI-3110	L7-198	عملکرد شلتون
۱۵	۵۴۴	۰/۴۹	Yld=13520×SAVI-3208	L7-214	
۱۴	۴۹۹	۰/۶۲	Yld=16233×SAVI-4910	L5-222	
۱۴	۶۸۰	۰/۶۳	Straw=12155×SAVI -6947	L5-190	
۲۱	۱۰۱۰	۰/۵۳	Straw=21038×SAVI-6690	L7-198	مقدار کاه
۱۹	۹۲۸	۰/۵۶	Straw=21711×SAVI-6016	L7-214	
۲۴	۱۱۳۶	۰/۶۱	Straw=23335×SAVI-7272	L5-222	



شکل ۶- رابطه شاخص SAVI با مقدار کاه



شکل ۵- رابطه شاخص SAVI با مقدار زیست توده



شکل ۷- رابطه شاخص SAVI با مقدار عملکرد

مربوط به تصویر ماهواره لندست ۵ در دوره گلدهی برنج می‌باشد. ضریب تبیین این تصویر برای زیست توده، عملکرد و کاه به ترتیب برابر $0.54/0.51/0.50$ است که معادل NRMSE ۱۱، ۱۱ و ۱۰ نموده است. درصد می‌باشد. استفاده از این تصویر خطا برابر $919/380/706$ کیلوگرم در هکتار را برای برآورد و پیش‌بینی صفات یاد شده داشته است (شکل‌های ۶، ۷ و ۸). به طور کلی استفاده از تصویر دوره گلدهی نتیجه بهتری را در مقایسه با تصویر دوره رسیدگی برای برآورد عملکرد داشت که با مطالعات دیگران هماهنگی دارد (Chen et al, 2005). در پژوهش حاضر معادلات مستخرج از LAI در مقایسه با معادلات بدست آمده از SAVI دقت کمتری داشته‌اند که به نظر می‌رسد به دلیل به کارگیری معادله خطی در این مقاله باشد. تلاش‌هایی برای افزایش ضریب تبیین رابطه بین LAI و عملکرد برنج از طریق ارائه معادلات مناسب و غیرخطی انجام (Xiao et al, 2002) و نتایج قابل قبولی گرفته شده است (Chen et al, 2005). نکته مهم دیگر استفاده از ضرایب ارائه شده در منابع خارجی برای محاسبه LAI در این پژوهش است که می‌تواند باعث افزایش خطا گردد. به نظر می‌رسد انجام پژوهشی جامع برای تصحیح این ضرایب برای شرایط ایران ضروری است.

مقدار خطای استفاده از این شاخص با استفاده از تصویر یاد شده نیز کاهش قابل توجهی یافته و به 870 کیلوگرم در هکتار رسیده است. بدین معنی که NRMSE برابر 10 درصد می‌باشد. این روند برای برآورد عملکرد و کاه نیز مشاهده شده است. تصویر ۱۹۰- L5 در برآورد عملکرد و کاه با $R^2 = 0.58$ و NRMSE $0.58/0.63/0.63$ در مقایسه با معادلات قبلی دقت بهتری دارد (شکل‌های عو. ۷). ژاآو و همکاران عقیده دارند شاخص SAVI باعث تصحیح شاخص NDVI و خطی کردن رابطه آن با صفات مرتبط با عملکرد می‌گردد (Huete, 1988; Xiao et al, 2002). با توجه به این که در پژوهش حاضر از معادله ساده خطی استفاده گردیده است می‌توان دقت بالاتر کاربرد شاخص SAVI را به این مسله نسبت داد.

همان‌طور که در بخش قبلی اشاره شد رابطه میان شاخص سطح برگ و مقدار زیست توده، عملکرد و کاه تولیدی نیز به دست آمد. بر اساس جدول ۴ ضریب تبیین معادلات به دست آمده بین $0.40/0.63$ متغیر می‌باشد، که در مقایسه با استفاده از NDVI رابطه بهتری را نشان می‌دهد و با مطالعه سایر محققان هماهنگی دارد (Aboelghar et al, 2011). در میان معادلات بالاترین ضریب تبیین

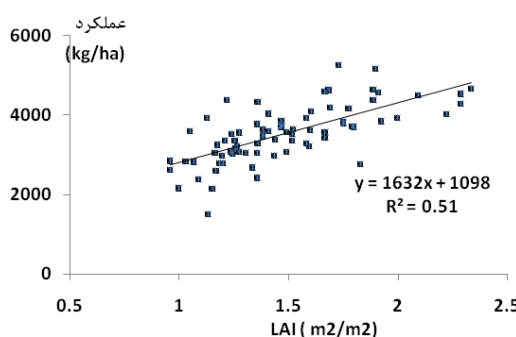
می‌دهد. دقت برآورد عملکرد در این تصویر در مقایسه با برآوردهای انجام یافته در سال ۱۳۸۵ کمتر می‌باشد. یکی از عمدت‌ترین دلایل آن، تغییر شرایط کاشت و مدیریت زراعی می‌باشد. همان‌طور که قبل اشاره شد معادلات ارائه شده در این پژوهش نیازمند به واسنجی کلی با استفاده از سری بسیار بزرگ از داده‌ها در چند سال است.

ارزیابی معادله پیشنهادی این پژوهش

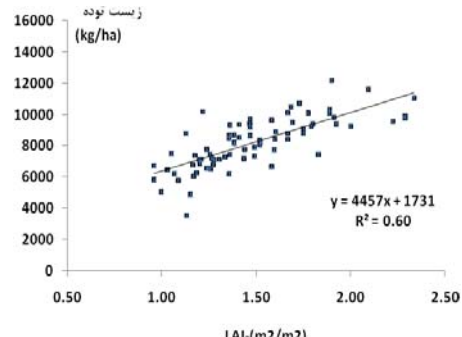
به منظور ارزیابی معادله پیشنهادی این پژوهش برای برآورد عملکرد ($Y_{ld} = 13329 \times SAVI - 3569$) از داده‌های عملکرد برداشت شده در ۸۰ مزرعه در این منطقه در سال ۱۳۸۶ استفاده شده است. جدول ۵ نتایج کارایی این مدل در تخمین عملکرد را نشان

جدول ۴- معادلات استخراج شده از تصاویر برای پیش‌بینی زیست توده، عملکرد و کاه از شاخص LAI

صفت	تصویر	معادله	R^2	واسنجی	ارزیابی	NRMSE (%)	RMSE ($Kg\ ha^{-1}$)
زیست توده	L5-190	BM=4457.3×LAI-1731	+/60	BM=4457.3×LAI-1731	11	919	
	L7-198	BM=4165.4×LAI-1607	-/52	BM=4165.4×LAI-1607	17	1468	
	L7-214	BM=5727.8×LAI-1142	-/52	BM=5727.8×LAI-1142	25	2034	
	L5-222	BM=5488.6×LAI-9.9	-/58	BM=5488.6×LAI-9.9	18	1503	
عملکرد شلتوك	L5-190	$Y_{ld}=1687.1 \times LAI - 1098$	+/51	$Y_{ld}=1687.1 \times LAI - 1098$	11	380	
	L7-198	$Y_{ld}=1498 \times LAI - 1092$	-/40	$Y_{ld}=1498 \times LAI - 1092$	17	623	
	L7-214	$Y_{ld}=2352.5 \times LAI - 548$	-/50	$Y_{ld}=2352.5 \times LAI - 548$	13	477	
	L5-222	$Y_{ld}=2284.9 \times LAI - 35.3$	-/50	$Y_{ld}=2284.9 \times LAI - 35.3$	15	569	
مقدار کاه	L5-190	Straw=2825.5×LAI + 633	+/54	Straw=2825.5×LAI + 633	14	706	
	L7-198	Straw=2667.4×LAI - 514	-/50	Straw=2667.4×LAI - 514	20	967	
	L7-214	Straw=3787.2×LAI - 5	-/56	Straw=3787.2×LAI - 5	18	863	
	L5-222	Straw=2284.9×LAI - 35.3	-/63	Straw=2284.9×LAI - 35.3	20	900	



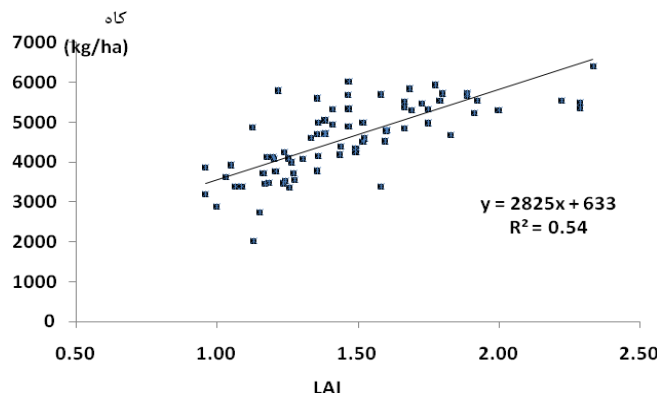
شکل ۹- رابطه شاخص LAI با مقدار عملکرد



شکل ۸- رابطه شاخص LAI با مقدار زیست توده

جدول ۵- نتایج ارزیابی رابطه پیشنهادی در این پژوهش در تخمین عملکرد با استفاده از داده‌های سال ۱۳۸۶

معادله	R^2	RMSE ($Kg\ ha^{-1}$)	ارزیابی	NRMSE (%)
$Y_{ld}=7353 \times SAVI - 695$	-/51	570	16	



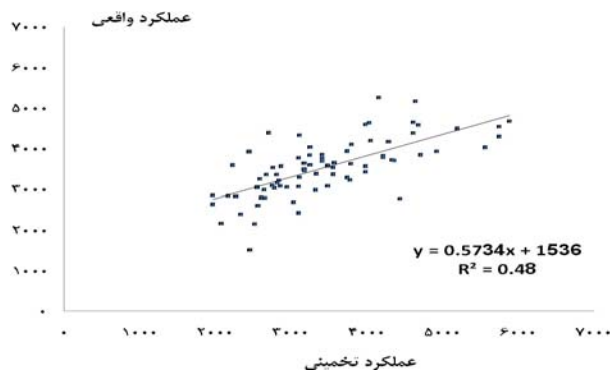
شکل ۱۰- رابطه شاخص LAI با مقدار کاه

عملکرد و کاه تولیدی در شالیزارهای شهرستان صومعه‌سرای استان گیلان بررسی شد. نتایج نشان می‌دهد استفاده از شاخص LAI در مقایسه با NDVI نتایج بهتری دارد ولی شاخص SAVI در مقایسه با این دو شاخص برتری دارد و منجر به نتایج دقیق‌تری شده است. فناوری سنجش از دور توانایی برآورد عملکرد برنج در سطح وسیع را دارد. بدین معنی که با در اختیار داشتن یک تصویر از ماهواره لندست در هریک از مراحل گلدهی و برداشت برنج که شامل یک دوره یک ماهه می‌باشد عملکرد برنج با دقت مناسب برآورد خواهد شد. استفاده از تصاویر در دوره گلدهی دقت بیشتری را در پی دارد. معادله پیشنهادی در این مقاله به صورت $Y_{ld} = 13329 \times SAVI - 3569$ (Yld=13329×SAVI) است که در آن Yld عملکرد بر حسب کیلوگرم در هکتار می‌باشد. از آنجایی که مرحله گلدهی حداقل یک ماه قبل از برداشت برنج می‌باشد می‌توان نتیجه‌گیری کرد با استفاده از فناوری سنجش از دور و تنها با در اختیار داشتن یک تصویر در زمان گلدهی مقدار زیست توده برنج، عملکرد شلتون و کاه تولیدی در سطح وسیع با دقت مناسب قابل پیش‌بینی است. بررسی‌های بیشتر در این زمینه توصیه می‌گردد.

تاکنون چند معادله توسط محققان برای تخمین ارائه شده است. در یک مطالعه با بررسی ارتباط شاخص‌های رشد برنج معادله $Yield = 0.2846 \times LAI - 0.0764$ به عنوان بهترین معادله برای برآورد عملکرد برنج بر حسب کیلوگرم در مترمربع ارائه شده است (Aboelghar et al,2011). برای مقایسه دقت معادلات ارائه شده در این مقاله با معادله فوق، مقدار عملکرد ۳۰ نقطه به کار رفته در بخش ارزیابی (داده‌های سال ۱۳۸۵) توسط این معادله نیز برآورد و مقادیر شاخص‌های ارزیابی آن محاسبه شد. شکل ۱۱ مقدار عملکرد برآورد شده با این معادله را در مقابل عملکرد واقعی نشان می‌دهد. نتایج نشان داد ضایعات NRMSE به ترتیب معادل ۶۴۰ کیلوگرم در هکتار و ۱۸ درصد می‌باشد. بنابراین می‌توان نتیجه‌گیری کرد که در مقایسه با معادله ارائه شده در دیگر مطالعات (Aboelghar et al,2011)، معادله این مطالعه از دقت بهتری برخوردار هست.

نتیجه‌گیری

در این پژوهش ارتباط شاخص‌های گیاهی LAI، SAVI و NDVI مستخرج از چهار تصویر ماهواره لندست با صفات زیست‌توده،



شکل ۱۱- مقادیر عملکرد برآورده با روش ابولقهار و همکاران به ازای عملکرد واقعی (کیلوگرم در هکتار)

منابع

- estimating biomass and LAI, Journal of Field Crops Research. 55: 83–92.
- Chen,R.K and Yang,C.M. 2005. Determining the optimal timing for using LAI and NDVI to predict rice yield, Journal of Photogrammetry and Remote Sensing. 10:3. 239-254.
- Dadhwal,V.K and Ray,S.S. 2000. Crop Assessment using remote sensing – Part II: Crop condition and yield assessment, Indian Journal of Agricultural Economics, 55 :2 . 55-67.
- Delécollé,R., Maas,S.J., Guérif,M. 1992. Remote sensing and crop production models: Present trends. The ISPRS Journal of Photogrammetry and Remote Sensing. 47: 145-161.
- El Nahry,A.H., Ali,R.R and El Baroudy,A.A. 2011. An approach for precision farming under pivot irrigation system using remote sensing and GIS techniques. Journal of Agricultural Water Management. 98: 517-531.
- Fischer,A., Kergoat,L and Dedieu,G. 1997. Coupling satellite data with vegetation functional models: Review of different approaches and perspectives suggested by the assimilation strategy. Journal of Remote Sensing Reviews. 15: 283-303.
- Groten,S.M.E. 1993. NDVI- crop monitoring and early yield assessment of Burkina Faso. International journal of remote sensing, 14:8. 1495-1515.
- Huete,A.R. 1988. Soil adjusted vegetation index (SAVI). Journal of Remote Sensing of Environment. 25: 295-309.
- Lewis,J.E., Rowland,J and Nadeau,A. 1998. Estimating maize production in Kenya using NDVI: some statistical considerations. International journal of remote sensing, 19 :13. 2609– 2617.
- Leon,C.T., Shaw,D.R., Cox,M.S., Abshire, M.J., Ward,B and Wardlaw,M.C. 2003. Utility of remote sensing in predicting crop and soil characteristics. Journal of Precision Agriculture, Kluwer Academic Publishers, vol. 4, pp. 359-384
- Lu,D., Mausel,P., Brondizio,E and Moran,E. 2002. Assessment of atmospheric correction methods for Landsat TM data application to Amozon basin, LBA research, International journal of remote sensing, 23:13. 2651-2671.
- Monteith,J.L. 1972. Solar radiation and productivity in
- خواجهالدین،س.ج و پورمنافی،س.ع. ۱۳۸۶. تعیین سطح شالیزارهای حاشیه زاینده رود در منطقه اصفهان با داده‌های رقومی سنجنده های ماهواره IRS11، مجله علوم و فنون کشاورزی و منابع طبیعی ۵۲۸-۵۱۳: (۱).
- ضیائیان فیروزآبادی،پ.، صیاد بیدهندی،ل و اسکندری نوده،م. ۱۳۸۸. تهیه نقشه و تخمین سطح زیرکشت برنج در شهرستان ساری با استفاده از تصاویر ماهواره‌ای رادارست (RADARSAT) . پژوهش های جغرافیای طبیعی، تابستان ۱۳۸۸ . ۴۸(۶): ۴۵-۵۸.
- ساروی،س و نصیری،ع. ۱۳۸۱. بهره‌گیری از فن آوری سنجش از دور در تهیه آمار و نقشه اراضی زیر کشت برنج در شمال کشور(شهرستان‌های آمل و بابل)، همایش ژئوماتیک ۸۱ ، سازمان نقشه برداری کشور، تهران.
- مالمیریان،ح. ۱۳۷۹. اصول و مبانی سنجش از دور و تعبیر و تفسیر تصاویر هوایی و ماهواره ای (ترجمه)، سازمان جغرافیایی نیروهای مسلح، ۳۵۰ صفحه.
- مختراری،ش. ۱۳۹۰. توسعه و کاربرد یک مدل ساده (VSM) جهت تخمین منطقه‌ای عملکرد برنج با بهره‌گیری از داده‌های ماهواره‌ای. گروه مهندسی آب دانشکده علوم کشاورزی دانشگاه گیلان.
- Aboelghar,M., Arafat, S., Abo Yousef, M., El-Shirbeny, M., Naeem, S., Massoud, A., and Saleh, N., 2011. Using SPOT data and leaf area index for rice yield estimation in Egyptian Nile delta, The Egyptian Journal of Remote Sensing and Space Sciences.14:2 .81-89.
- Bastiaanssen Wim,G.M and Ali,S. 2003. new crop yield forecasting model based on satellite measurements applied across the Indus Basin, Pakistan. Agriculture, Journal of Ecosystems and Environment. 94: 321–340.
- Behrens,T., Muller,J and Diepenbrock,W. 2006. Utilization of canopy reflectance to predict properties of oilseed rape (*Brassica napus* L.) and barley (*Hordeum vulgare* L.) during ontogenesis. Europ. Journal of Agronomy.25:345-355.
- Casanova,D., Epema,G.F., Goudrian,J. 1998. Monitoring rice reflectance at field level for

- Shen,S.H., Yang,S.B and Li,B.B. 2009. A scheme for regional rice yield estimation using ENVISAT ASAR data. *journal of Science in China series D: Earth Sciences.* 52:8. 1183-1194,
- Shi,H and Mo,X. 2011. Interpreting spatial heterogeneity of crop yield with a process model and remote sensing. *Journal of Ecological Modelling.* 2:22. 2530- 2541.
- Xiao,X., He,L., Salas,W., Li,C., Moore,B., Zhao,R., Frolking,S and Boles,S. 2002. Quantitative relationships between field-measured leaf area index and vegetation index derived from VEGETATION images for paddy rice fields. *International journal of remote sensing,* 23:18. 3595-3604.
- Yang,X.H., Wang,F.M., Huang,J.F., Wang,J.W., Wang,R.C., Shen,Z.Q and Wang,X.Z. 2009. Comparison between radial basis function neural network and regression model for estimation of rice biophysical parametersusing. *Journal of remote sensing, Pedosphere.* 19:2. 176-188.
- tropical ecosystems, *Journal of Applied Ecology* . 9 :747-766.
- Parodi Gabriel,N. 2002. AHVRR Hydrological Analysis System: Algorithms and theory, Version 1.3, WRES – ITC.
- Ren,J., Chen,Z., Zhou,Q and Tang,H. 2008. Regional yield estimation for winter wheat with MODIS-NDVI data in Shandong China. *International Journal of Applied Earth Observation and Geoinformation.* 10: 403-413.
- Sharma,T., Sudha,K.S., Ravi,N., Navalgun,R.R., Tomar,K.P., Chakravarty,N.V.K and Das,D.K. 1993. Procedures for wheat yield prediction using Landsat MSS and IRS-1A data, *International journal of remote sensing.* 14:13. 2509– 2518.
- Sharma,N., Piscioneri,I., Baviello,G and Orlandini,S. 2000. Promising industrial energy crop, *Cynara cardunculus:* a potential source for biomass production and alternative energy. *Journal of Energy Conversion and Management.* 41:10.1091-1105.

Estimation of paddy field rice yield in the Sephidrud system using Landsat images (case study: Some Sara)

M. Rezaei^{1*}, M. Raeini Sarjaz², A. Shahnazari³, M. Vazifedoust⁴

Received: Dec. 18, 2013 Accepted: Sep. 17, 2014

Abstract

Early and precise estimation of rice production is a nationwide need in order to early import forecasting. The present study was carried out in the Sephidrod irrigation network of Iran to assess feasibility and accuracy of using remote sensing imagery in predicting regional rice yield. Four Landsat 5 and 7 images were acquired and processed, then NDVI, SAVI and LAI indices were calculated. For the second step a simple linear equation was fitted between these indices and rice biomass (BM), yield (Yld) and straw (St) measured in 110 paddy fields of common farmers. The results showed the best correlation between NDVI and BM achieved from Landsat5 in flowering stage of rice ($R^2=0.59$, RMSE= 1030 kg ha^{-1} , NRMSE= 12%), For yield and St RMSE and NRMSE were : 12%, 434 and 15%, 711 kg ha^{-1} . In term of using LAI the best correlation coefficient for BM, Yld and St were 0.6, 0.51 and 0.54. The observed inaccuracy were 919, 380 and 706 kg ha^{-1} . A better correlation was observed between measured traits and SAVI comparing with NDVI and LAI. The correlation coefficient for Bm, Yld and St were 0.69, 0.58 and 0.53 with inaccuracy of 10%, 10% and 14%. RMSE for SAVI were 870, 375 and 680 kg ha^{-1} for Bm, Yld and St, respectively. The result showed that remote sensing could estimate rice yield at flowering stage, at least 30 days before harvesting.

Key words: NDVI, Paddy, Remote sensing, Yield , Etm+

1 - PhD student, Irrigation Science Dept., Sari university of Agricultural Science and Natural Resources.

2 - Associated Professor, Irrigation Science Dept., Sari university of Agricultural Science and Natural Resources.

3-. Assistant Professor, Irrigation Science Dept., Sari university of Agricultural Science and Natural Resources.

4 - Assistant Professor Irrigation Science Dept., university of Guilan.

(*- Corresponding Author Email: mrezaeii@yahoo.com)